

УДК 532.526

О СОПРОТИВЛЕНИИ ПЛОСКОЙ ПЛАСТИНЫ В ПОТОКЕ ПОЛИМЕРНОГО РАСТВОРА ПЕРЕМЕННОЙ КОНЦЕНТРАЦИИ

В. А. ИОСЕЛЕВИЧ, В. Н. ПИЛИПЕНКО

(Москва)

Одним из способов снижения сопротивления трения тел, движущихся в воде, является выпуск водорастворимых полимерных добавок в турбулентный пограничный слой на поверхности тела. Существующие полуэмпирические методы расчета, использующие сведения о влиянии длинных молекул на перестройку течения в пограничном слое, позволяют для слабых полимерных растворов постоянной концентрации достаточно надежно рассчитывать сопротивление гладких и шероховатых труб [1] и анализировать эффекты перераспределения местных касательных напряжений на поверхности плоских пластин [2].

Развитые к настоящему времени методы расчета сопротивления пластин пригодны и для прогноза снижения полимерными добавками турбулентного трения удлиненных тел. Представляет интерес обобщить эти методы на случай переменной концентрации. Ниже рассматривается задача о расчете турбулентного пограничного слоя на плоской пластине с инжекцией полимерного раствора вблизи ее передней кромки. Для ее решения используется упрощающее предположение о возможности замены действительного распределения концентрации полимерных добавок по нормали к поверхности пластины эффективным однородным распределением. Такое предположение позволяет оценить расход полимера, необходимый для получения заданного снижения сопротивления трения.

1. Рассмотрим ситуацию, возникающую при выпуске полимерного раствора в пограничный слой продольно оттекаемой пластины. Из результатов экспериментальных исследований диффузии нейтральных частиц [3] и активных полимерных добавок [4] в турбулентном пограничном слое известно, что непосредственно за участком выпуска располагается область переходного режима, в пределах которой происходит развитие диффузионного слоя, постепенно заполняющего весь динамический пограничный слой. Протяженность этой области зависит от возмущений, вносимых при подаче полимерного раствора, и характеристик течения в пограничном слое перед местом выпуска. За пределами переходной области формируется распределение концентрации $c=c(x, y)$ с максимальным значением $c_w(x)=c(x, 0)$ вблизи стенки, для которого справедлива формула

$$(1.1) \quad c_w(x)\delta(x)U=\alpha q/\rho_p g$$

Здесь x — координата, отсчитываемая вдоль пластины, y — расстояние от ее поверхности, q и ρ_p — удельный (на единицу ширины пластины) весовой расход и плотность полимерного вещества, U — скорость набегающего потока, а безразмерный параметр α характеризует неоднородность распределения концентрации и продольной составляющей средней скорости в поперечном сечении пограничного слоя. Как следует из данных опытов [3, 4], величина α меняется слабо ($\alpha=2\pm0.2$).

Сформулируем основные предположения, используемые ниже в схеме расчета сопротивления трения.

1. Будем считать, что место подачи полимерного раствора находится в области ламинарного пограничного слоя. Предположим также, что вносимые при инжекции полимерного раствора возмущения приводят к турбулизации пограничного слоя.

2. Заменим область переходного течения, в пределах которой развивается диффузионный слой, сечением пограничного слоя с продольной координатой, совпадающей с координатой места подачи полимерного раствора. Можно предположить, что подача раствора в пограничный слой не вызывает появления сосредоточенной продольной силы в месте выпуска. Тогда в сечении смены режимов течения справедливо условие непрерывности толщины потери импульса, т. е.

$$(1.2) \quad [\delta_1]_{x=x_0} = 0, \quad \delta_2 = \int_0^{\delta} \frac{u}{U} \left(1 - \frac{u}{U} \right) dy$$

где u — продольная составляющая средней скорости течения в пограничном слое, x_0 — координата места подачи раствора.

3. Известно [1], что полимерные добавки наиболее существенно влияют на перестройку структуры течения в пристенной области пограничного слоя, толщина которой мала по сравнению с полной толщиной пограничного слоя. В этой узкой области градиент концентрации мал [3, 4]. В связи с этим фигурирующее в формуле (1.1) значение концентрации раствора у стенки $c_w(x)$ можно рассматривать в качестве эффективной концентрации $c(x)$ однородного раствора, при течении которого в данном сечении возникает то же местное сопротивление трения. Используя (1.1), будем считать, что $\alpha=2$.

4. Экспериментальные данные о течениях слабых полимерных растворов в трубах [5] свидетельствуют о том, что полимерные добавки не оказывают влияния на течение в ядре потока, т. е. не вызывают изменений в «дефекте скорости». Подобных сведений о влиянии полимерных добавок на внешнюю область пограничного слоя в настоящее время нет. По аналогии со случаем течения растворов в трубах предположим, что макромолекулы не меняют величины дефекта скорости в пограничном слое на пластине.

2. Для решения задачи используем интегральный подход, в котором вид поперечного профиля средней скорости предполагается известным. Будем считать, что этот профиль может быть описан выражением

$$(2.1) \quad u^+ = \frac{1}{\kappa} \ln \eta + B + \frac{\Pi}{\kappa} W \left(\frac{\eta}{\eta_s} \right)$$

$$u^+ = \frac{u}{v_*}, \quad v_* = \sqrt{\frac{\tau_w}{\rho}}, \quad \eta = \frac{v_* y}{v}, \quad \eta_s = \frac{v_* \delta}{v}$$

Здесь τ_w — касательное напряжение на стенке, κ — константа Кармана ($\kappa=0.4$), v — кинематическая вязкость раствора, ρ — его плотность, Π — параметр Коулса ($\Pi=0.55$), W — «функция следа». Для аппроксимации W удобно использовать формулу [6]

$$(2.2) \quad W(\eta / \eta_s) = 1 - \cos (\pi \eta / \eta_s)$$

Формула (2.1) не пригодна в непосредственной близости от стенки. Можно, однако, показать, что игнорирование этого обстоятельства не вносит существенных погрешностей в результаты расчетов сопротивления.

Влияние полимерных добавок проявляется в изменении величины параметра B в (2.1) по сравнению со случаем течения ньютоновской жидкости.

В работе [1] предложена полуэмпирическая теория турбулентности слабых полимерных растворов, учитывающая влияние макромолекул в выражении для длины пути смешения. Схематизация получаемого при использовании этой теории профиля скорости логарифмическим законом

позволяет получить следующую систему соотношений для определения параметра B при течении у гладкой стенки

$$(2.3) \quad B = \frac{7.5}{\beta^{1.15}} - 2.6, \quad \beta = \frac{1}{b\lambda^2 + \omega} + \beta_0$$

$$b = -\frac{k}{2(1-\beta_0)^2}, \quad \omega = \frac{1}{1-\beta_0} + b, \quad \lambda = \frac{v_*}{v**}$$

$$\beta_0 = 1 - 0.44 \operatorname{arc tg} \left(\frac{cM^{0.85}}{1.8} \right), \quad k = \frac{1.5cM^{0.5}}{cM^{0.5} + 0.135}$$

в которой M — средний молекулярный вес растворенного полимера. Значение динамической скорости $v**$, отвечающее началу воздействия макромолекул на пристенную турбулентность, характеризуется условием

$$(2.4) \quad v**l / v = 0.01, \quad l = 1.9 \cdot 10^{-8} M^{0.5}$$

где l — характерный размер макромолекул в см. Первая формула в (2.3) отличается от предложенной в [1] величиной второго слагаемого в правой части. Указанное изменение обусловлено тем, что выражение в [1] было получено для логарифмического профиля средней скорости в предположении об отсутствии дефекта скорости. С учетом внешней области пограничного слоя течению чистого растворителя ($\beta=1$) по (2.3) отвечает значение $B=4.9$.

Результаты расчетов по формулам (2.3) и (2.4) хорошо согласуются с экспериментальными данными для наиболее эффективных с точки зрения снижения сопротивления трения полимеров (полиэтиленоксиды, поликариламиды и т. п.) [7, 8].

3. Для определения сопротивления трения плоской пластины в потоке слабого полимерного раствора переменной концентрации используем интегральное соотношение

$$(3.1) \quad d(\delta_2^+ v^+) / dr = 1 / v^{+2}, \quad \delta_2^+ = \delta_2 v_* / v$$

$$v^+ = u^+(\eta_b) = U / v_*, \quad r = Ux / v$$

С учетом (2.1) и (2.2) для безразмерной толщины потери импульса δ_2^+ получим

$$(3.2) \quad \delta_2^+ = (G_1 / v^+ - G_2 / v^{+2}) \eta_b$$

$$G_1 = \kappa^{-1} (1 + \Pi), \quad G_2 = \kappa^{-2} (2 + \Pi / \pi + 3\Pi^2 / 2)$$

Безразмерная толщина пограничного слоя η_b определяется формулой

$$(3.3) \quad \eta_b = \exp[\kappa(v^+ - B*)], \quad B^* = B + 2\Pi / \kappa$$

Подставляя (3.2) и (3.3) в (3.1), получим

$$(3.4) \quad \exp[\kappa(v^+ - B^*)] \left\{ \left[G_2 + \kappa(G_1 v^{+2} - G_2 v^+) \left(1 - \frac{dB}{dv^+} \right) \right] \frac{dv^+}{dr} - \right.$$

$$\left. - \kappa(G_1 v^{+2} - G_2 v^+) \frac{dB}{dc} \frac{dc}{dr} \right\} = 1$$

Для замыкания системы уравнений (1.1) и (3.4) используем соотношение, которое следует из (2.1) при $y = \delta(\eta = \eta_b)$

$$(3.5) \quad v^+ = \kappa^{-1} \ln \eta_b + B + 2\Pi \kappa^{-1}$$

При численном решении задачи удобно использовать соотношения (1.1) и (3.5) в продифференцированном по r виде

$$(3.6) \quad c\eta_\delta \frac{dv^+}{dr} + v^+ c \frac{d\eta_\delta}{dr} + v^+ \eta_\delta \frac{dc}{dr} = 0$$

$$(3.7) \quad \left(1 - \frac{dB}{dv^+}\right) \frac{dv^+}{dr} - \frac{1}{\kappa\eta_\delta} \frac{d\eta_\delta}{dr} - \frac{dB}{dc} \frac{dc}{dr} = 0$$

Определяющая система состоит, таким образом, из трех дифференциальных уравнений ((3.4), (3.6) и (3.7)) для переменных v^+ , η_δ и c . В соответствии с предположением 2 п. 1 и известным решением Блазигуса [9] для определения граничных условий системы при $r=r_0=x_0U/v$ имеем соотношения

$$(3.8) \quad \begin{aligned} 0.664\sqrt{r_0} &= v_0^+ \eta_{\delta 0} (G_1 / v_0^+ - G_2 / v_0^{+2}) \\ v_0^+ &= \kappa^{-1} \ln \eta_{\delta 0} + B_0 + 2\pi\kappa^{-1}, \quad c_0 \eta_{\delta 0} v_0^+ = \alpha q^+ \\ q^+ &= q/\rho_p g v, \quad \eta_{\delta 0} = \eta_\delta(r_0), \quad B_0 = B(c_0, v_0^+) \end{aligned}$$

Получаемое в результате интегрирования распределение $v^+=v^+(r)$ позволяет определить зависимость местного коэффициента трения c_f от безразмерной продольной координаты r .

$$(3.9) \quad c_f(r) = 2[v^+(r)]^{-2}$$

Коэффициент полного сопротивления трения пластины C_F находится из соотношения

$$(3.10) \quad C_F(R) = \frac{2\eta_\delta v^+}{R} \left(\frac{G_1}{v^+} - \frac{G_2}{v^{+2}} \right), \quad R = \frac{UL}{v}$$

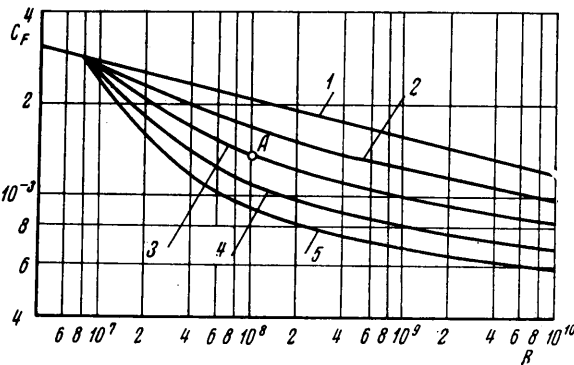
4. Приведем сначала результаты численного решения задачи о сопротивлении трения гладкой пластины в потоке однородного раствора полимера с учетом внешней области пограничного слоя ($\Pi=0.55$). В этом случае уравнение (3.6) следует заменить условием $c(x)=\text{const}$.

На фиг. 1 показаны расчетные диаграммы полного коэффициента трения $C_F(R)$ для пластины длиной $L=800 \text{ см}$, движущейся в растворе полиэтиленоксида $WSR-301$ ($M=4 \cdot 10^6$) различной концентрации. Кривая 1 соответствует значению $c=0$, $2-3.3 \cdot 10^{-6}$, $3-10^{-5}$, $4-3.3 \cdot 10^{-5}$ и $5-10^{-4}$. Сравнение полученных данных с результатами работы [2], в которой не учитывалась внешняя область пограничного слоя, показывает, что в широком диапазоне чисел Рейнольдса (от 10^6 до 10^{10}) влияние этой области проявляется в незначительном уменьшении величины C_F ($\Delta C_F \sim 5\%$).

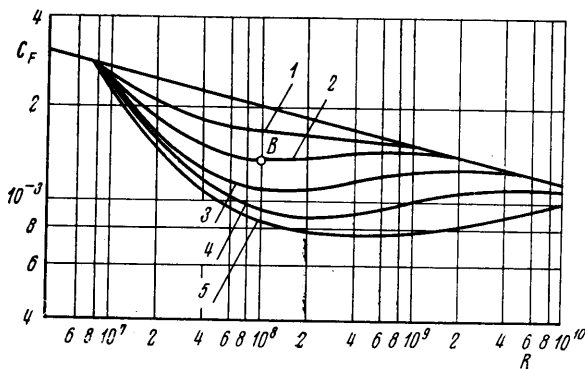
Рассмотрим теперь результаты решения задачи о выпуске раствора полиэтиленоксида $WSR-301$ вблизи передней кромки пластины ($x_0/L=10^{-4}$). На фиг. 2 приведены диаграммы сопротивления трения $C_F(R)$ гладкой пластины длиной $L=800 \text{ см}$ при различных величинах безразмерного расхода полимера $Q^+=2q^+$, отнесенного к двум сторонам пластины. Кривая 1 соответствует значению $Q^+=1$, $2-3.3$, $3-10$, $4-33$ и $5-100$. Эти диаграммы свидетельствуют о том, что при фиксированном весовом расходе полимера, подаваемого в пограничный слой у носовой кромки пластины, существует конечный диапазон чисел Рейнольдса R , в котором имеет место снижение турбулентного трения. Ширина этого диапазона тем больше, чем больше удельный расход полимера.

Появление эффекта снижения полного сопротивления трения пластины в потоке раствора переменной концентрации обусловлено теми же при-

чинами, что и в однородном растворе. С ростом числа Рейнольдса эффект вначале растет, а затем постепенно снижается. Снижение эффекта, а затем и полное его исчезновение связано с тем, что при увеличении числа Рейнольдса соответственно растет и скорость движения пластины U , тогда как толщина пограничного слоя уменьшается. Однако уменьшение δ про-



Фиг. 1



Фиг. 2

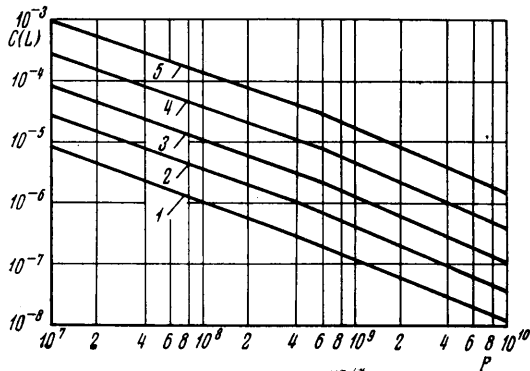
исходит значительно медленнее. В связи с этим произведение $U\delta$ увеличивается, а концентрация полимерного раствора в любом сечении пограничного слоя падает. Снижение концентрации в свою очередь приводит к уменьшению воздействия полимерных молекул на турбулентное трение. На фиг. 3 показана зависимость эффективной концентрации $c(L)$ на кромовой кромке пластины от числа Рейнольдса при различных значениях безразмерного расхода сухого полимерного вещества Q^+ . Обозначения на фиг. 3 соответствуют тем же значениям Q^+ , что и на фиг. 2.

Для оценки эффективности выпуска полимерных молекул в пограничный слой у носовой кромки пластины проведем сопоставление со случаем движения пластины в однородном растворе. В последнем случае количество расходуемого в единицу времени полимерного вещества, которое необходимо для поддержания заданного сопротивления, можно приближенно оценить по формуле

$$(4.1) \quad Q_1 = 2q_1 = 2c\rho_p g \int_0^{\delta(L)} u dy = 2c\delta(L) U\rho_p g$$

$$q_1^+ = q_1 / \rho_p g v = c\delta(L) U / v.$$

При этом предполагается, что за снижение турбулентного трения ответственны все макромолекулы, находящиеся в пределах пограничного слоя на пластине (они покидают пограничный слой, проходя через кормовое поперечное сечение). В оценочной формуле (4.1) произведена замена интеграла по толщине кормового сечения пограничного слоя близкой ему



Фиг. 3

величиной $\delta(L)U$. При определении толщины пограничного слоя $\delta(L)$ пренебрежем сравнительно малым влиянием полимерных молекул на полную толщину, а не на толщину пристенной области, пограничного слоя и предположим, следуя [8], что $\delta(L)/L = 0.37R^{-0.2}$. Тогда согласно (4.1) будем иметь

$$(4.2) \quad q_1^+ = 0.37cR^{0.8}$$

В качестве примера оценим эффективность выпуска полимерных добавок применительно к пластине длиной $L=800$ см для снижения ее полного сопротивления на 34% при $R=10^8$. На диаграмме сопротивления пластины в однородном растворе такой величине эффекта отвечает значение концентрации $c=10^{-5}$ (точка A на фиг. 1). Безразмерный расход полимерного вещества q_1^+ , вычисленный по формуле (4.2), при этом равен 9.3. Той же величине снижения турбулентного трения при выпуске полимера у носовой кромки (точка B на фиг. 2) соответствует значение $q^+=Q^+/2=1.65$, которое приблизительно в шесть раз ниже величины q_1^+ .

Авторы благодарны Л. И. Седову и С. С. Григоряну за полезное обсуждение результатов.

Поступила 13 VI 1973

ЛИТЕРАТУРА

1. Васецкая Н. Г., Иоселевич В. А. О построении полуэмпирической теории турбулентности слабых растворов полимеров. Изв. АН СССР, МЖГ, 1970, № 2.
2. Васецкая Н. Г., Иоселевич В. А. Полимерные добавки в пограничном слое плоской пластины. Тр. Ин-та механ. МГУ, 1973, вып. 30.
3. Poreh M., Cermak J. E. Study of diffusion from a line source in a turbulent boundary layer. Internat. J. Heat and Mass Transfer, 1964, vol. 7, No 10, pp. 1083–1095.
4. Fabula A. G., Burns T. J. Dilution in a turbulent boundary layer with polymeric friction reductions. TR 171, Naval Undersea Research and Development Center, Pasadena, Calif., 1970.
5. Rudd M. J. Velocity measurements made with a laser dopplermeter on the turbulent pipe flow of dilute polymer solution. J. Fluid Mech., 1972, vol. 51, No. 4.
6. Хинце И. О. Турбулентность. Ее механизм и теория. М., Физматгиз, 1963.
7. Иванюта Ю. Ф., Чекалова Л. А. Экспериментальное исследование турбулентного течения слабых растворов полимеров в трубах различного диаметра. Инж.-фiz. ж., 1971, т. 21, № 1.
8. Никитин И. К., Позняя Н. Г., Дзевалтовский А. В. Профиль скоростей и сопротивление трения в турбулентном пристеночном течении разбавленных полимерных растворов. Гидромеханика, Респ. межв. сб., 1971, вып. 19.
9. Шлихting Г. Теория пограничного слоя. М., «Наука», 1969.